

LOS INSECTOS DE LAS ISLAS JUAN FERNANDEZ

12. M Y M A R I D A E (Hymenoptera)

ALEJANDRO OGLOBLIN

Laboratorio Central de Acridiología
José C. Paz (Buenos Aires)

Four new species distributed in three new genera are described in the present paper: *Cremnomymar fernandesi*, *C. imperfectus*, *Scolopsopterion kuscheli* and *Nesopolynema caudatum*, all presumably endemic for the Juan Fernández Islands. Four new tribes are tentatively proposed: Mymarini, Bruchomymarini, Cremnomymarini and Polynematini in order to separate the genera associated with *Polynema* Hal.

Besides, *Anagrus incarnatus* Hal. and *Polynema fuscipes* Hal., both of palaearctic origin, are mentioned as new for the fauna of Islands.

* * *

Entre los Hymenoptera parasítica cuidadosamente recogidos el verano pasado en las Islas Juan Fernández por el Rev. Padre Guillermo Kuschel, figuran algunos representantes de la fam. Mymaridae no señalada hasta ahora para la localidad nombrada, razón por la cual su estudio reviste interés especial.

Es agradable deber manifestar al Rev. Padre G. Kuschel mi sincero agradecimiento por el privilegio de poder estudiar tan importante material.

De las seis especies halladas en las Islas, cuatro resultaron ser nuevas, mientras que las dos restantes, aparentemente, han sido importadas por la acción humana y proceden, probablemente, de Europa occidental. Ambas especies foráneas han sido recogidas en la Isla Masafuera, posiblemente en un habitat donde la vegetación primitiva ha sido reemplazada por algunas malezas exóticas, en cambio todas las especies nuevas han sido capturadas en la Isla Masatierra a la altura de 600 m., es decir, en plena región donde el bosque primitivo está mejor conservado y bien pueden ser consideradas como endémicas. Dichas especies pertenecen a tres géneros nuevos, reunidos en una tribu Cremnomymarini igualmente nueva, la cual se separa de Polynematini caracterizada en el presente trabajo.

Aunque en rigor de la exactitud debemos reconocer que la cuestión sobre el endemismo de las especies de esta nueva tribu puede ser resuelta solamente después de conocer mejor los Mimáridos del Chile continental, casi ignorados hasta el presente, nos inclinamos a pensar que las formas que se describen a continuación son verdaderamente endémicas. A tal respecto cabe señalar que la opinión escéptica emitida por Holdhaus (1),

(1) Holdhaus, Karl. *Die geographische Verbreitung der Insekten*. in Ch. Schröder, *Handbuch der Entomologie*. Bd. 2. p. 592 — 1058, 1929. Jena. G. Fischer.

Jeannel (2) y otros autores sobre la ausencia de las formas endémicas en la entomofauna de las Islas Juan Fernández debe ser actualmente rechazada después de los trabajos de Bergroth, Aurivillius, Berland, Odhner, Verhoef, etc. Ya en 1933 Goetsch, al revisar la fauna de las Islas Juan Fernández, calculó que unos 44,5% de la misma lo constituyen las especies endémicas. La reciente colección de varias familias de Hymenoptera parasítica recogida por R. P. G. Kuschel confirma la apreciación de Goetsch, por otra parte plenamente corroborada por los estudios más completos sobre la flora particularmente característica de esas interesantes Islas.

Los ejemplares típicos de las especies nuevas quedan depositadas en Investigaciones Entomológicas, Universidad de Chile. Un parátipo de *Scolopsopteron kuscheli* A. Ogl. en la colección del autor.

Cremnomymar n. gen.

(Del griego: *κρεμνός* — suspendido y *μύμαρ* — baldón).

Antena masculina de 13 artejos, escapo liso, sin radícula separada. Vértice sin fosas circumocelares, ocelos en triángulo amplio. Mandíbulas tridentadas, con dientes entrecruzados apicalmente. Pronoto indiviso; prosterno cerrado por los cervicales. Escudete con hilera transversa de fósulas, posteriormente recubre la parte media del metanoto. Metapleura con surco alargado, ensanchado caudalmente, que une las caderas posteriores con la sutura meso-metasternal. Propódeo con carenas laterales terminadas en dos procesos laminares que llevan dos sedas sensoriales. Carenas medianas se aproximan en el límite del declive posterior, anchamente separadas sobre el borde oral del propódeo. Caderas posteriores con un mechón de pelos en la base de su cara interna. Tarsos tetrámeros. Alas de forma normal, las venas marginal y estigmática cortas, la última se prolonga en la dirección Rs., la postmarginal muy larga. Los pelos del disco transformados, soldados con su torma alargada que lleva además dos finas placas esclerosadas. Fig. 10. Abdomen con un pecíolo largo.

Especie típica del género: *Creninomyr fernandezi* n. sp.

Cremnomymar fernandezi n. sp.

Descrita sobre el único ejemplar recogido en Alto Inglés, MASATIERRA, a 600 m. de altura, el 6 de Febrero de 1952.

Holótipo. Macho. Long. del cuerpo 800 micr. Cuerpo de color pardo oscuro, tórax de un pardo rojizo, claro. Dos primeros artejos de antena y pecíolo amarillos, como también todas las patas, con excepción de los últimos tarsitos. El pigmento de los ojos y ocelos rojo, las trabéculas negras.

Cabeza distintamente transversa, 131 por 186 micrones; los ojos ántero-laterales, lampiños con el diámetro mayor casi $1\frac{1}{2}$ tan largo como postgenas en el aspecto dorsal. Triángulo ocelar con el ángulo apical de 116° . Ocelos elípticos, diámetro mayor del ocelo anterior 16 micrones, el del ocelo lateral 13. Línea ocelocular igual a una cuarta parte de la inte-

(2) Jeannel, René. *La genèse des faunes terrestres*. *Éléments de biogéographie*. 1942. Paris. Presses Universitaires de France. viii + 508 pp. VIII Plchs.

rocelar. Quetotaxia del vértice: 9 y 9 pelitos, 1 y 1 pústula circumocelar. La superficie del vértice fina y transversalmente celulada con algunas líneas transversas muy finas detrás de los ocelos posteriores. Las trabéculas postocelares llegan casi hasta el reborde postoccipital. Las trabéculas frontales elevadas frente a las escrobas. Un fuerte tubérculo alargado, mediano debajo de las antenas. Dos carenas encorvadas unen los ángulos externos del clípeo con las escrobas antenales.

Antena, (Fig. 1), casi 1,3 tan larga como el cuerpo, 984 micr.

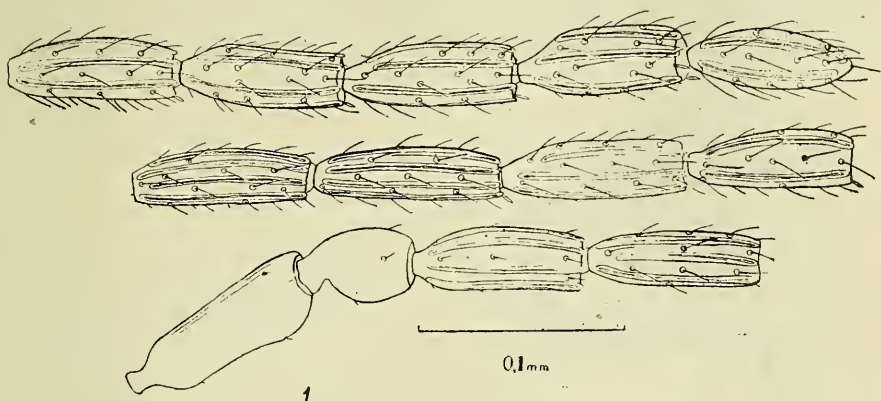


Fig. 1. *Crenuomymar fernandezi* A. Ogl. Antena del macho.

Dimensiones de sus artejos: 83, (26) : 54, (32) : 79, (26) : 74, (22); 79, (22); 79, (24); 74 (21); 79, (22); 67, (24); 67, (24); 74, (26); 69, (24); 67, (22).

Escapo ventralmente ensanchado en su tercio distal, igual que pedicelo lleva pocos pelitos cortos. La pilosidad de los artejos funiculares muy corta en los artejos basales se vuelve más larga y tupida en los apicales.

Tórax, (figs. 2 y 3), 332 por 176 micr.

Pronoto 96 por 160, con espiráculos póstero-laterales, poco salientes, el diámetro mayor del peritrema 13. Parte oral del pronoto transversalmente arrugada, el resto distintamente celulado, con 8 pelitos cortos a lo largo de su margen caudal.

Escudo del mesonoto 98 por 173, los notaulices convergen desde 96 hasta 54 y son abreviados en su última quinta parte, prolongándose en forma de una línea impresa hasta el borde del pronoto. La superficie escamoso-celulada con celdillas imbricadas hacia adelante.

Escudete 128 por 138 micr. posteriormente recubre la mitad oral del metanoto. Axilas separadas por unas líneas impresas, cada una con un corto pelito mediano, sus ángulos externos finamente celulados. Una hilera transversa de 16 fósulas redondas.

Metanoto 86 por 144, largo en el medio 13 micr., con dos pelitos diminutos al borde de la parte mediana, recubierta por el escudete.

Propódeo 154 por 154, largo en el medio 67 micr. Espiráculos circulares, 10 micr. del diámetro, abertura del peritrema alargada, algo excén-

trica. Una fóvea redonda, 6 micr. de diámetro, sobre el borde oral del propódeo, frente al espiráculo. Las carenas laterales empiezan desde los ángulos externo-orales del propódeo, pasando por el margen externo del peritrema espiracular, encorvándose ligeramente hacia la línea mediana del propódeo. En su tercio caudal se ensanchan formando los procesos laminares cada uno de los cuales emite un fuerte y agudo diente interno. Del borde externo-basal del proceso parte un abanico de carenas que ocupan los costados de la parte horizontal del propódeo. El borde externo-lateral del proceso redondeado lleva la seda sensitiva del propódeo. Las carenas medianas se inician sobre el borde oral del propódeo en la vecindad de las fóveas circunespiraculares, luego convergen, delimitando un

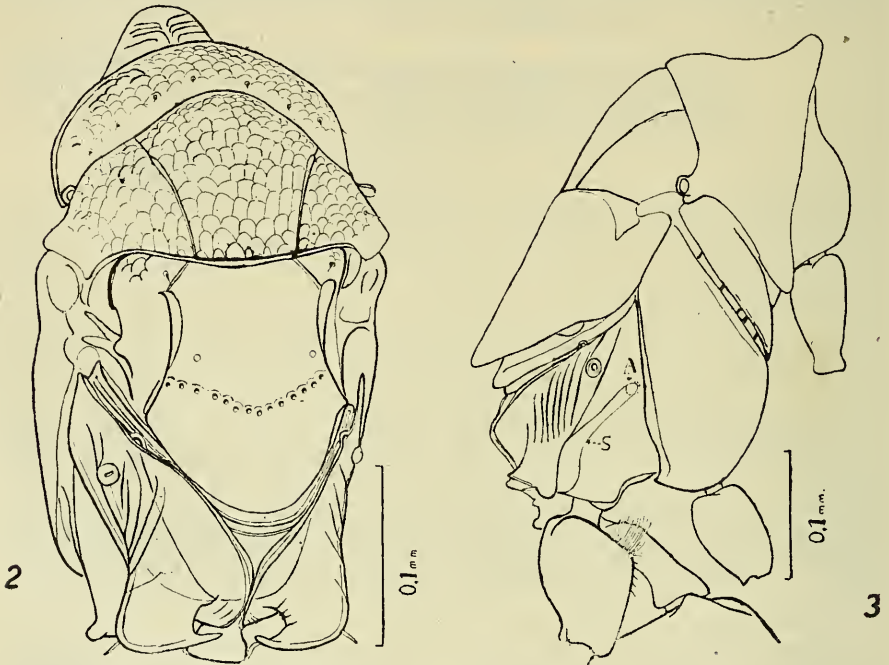


Fig. 2-3. *Cremnomymar fernandezi* A. Ogl.—Fig. 2. Tórax en aspecto dorsal. Fig. 3. Tórax en aspecto lateral.

espacio triangular en la parte mediana y oral del propódeo, descienden paralelas sobre el declive posterior separándose nuevamente en la base del proceso articular del abdomen.

Las tibias anteriores sin espinas dentiformes a lo largo de su borde externo. Todas las tibias son más cortas que sus respectivos tarsos.

Ala anterior 1.012 por 230 micr. La vena estigmática termina a los 144 micr. desde la base alar. V. marginal con estigmática 38, (Fig. 4), termina con un grupo de cuatro pústulas sensoriales; la macroqueta próxima más cercana a la hipoqueta (Debauche 1948), la macroqueta distal toca la segunda pústula sensorial. La vena radial distinta en forma de una línea hasta 179 micr. larga. Vena postmarginal 304 micr. larga se ensan-

cha distalmente. Su borde lleva tres hileras de espinas con las bases dilatadas. Las pestañas del disco 22 micr. largas con torma lineal, casi tan larga como el resto de la seda a la cual está soldada distalmente y en la porción proximal con finas placas esclerosadas semitransparentes. Las pestañas marginales se ensanchan y se achatan en su base tomando la forma de un remo. La pilosidad del disco empieza debajo de la línea radial con pocos pelitos transparentes, se vuelve más tupida y oscura hacia la parte ensanchada del ala. Un pliegue cóncavo a lo largo de la vena

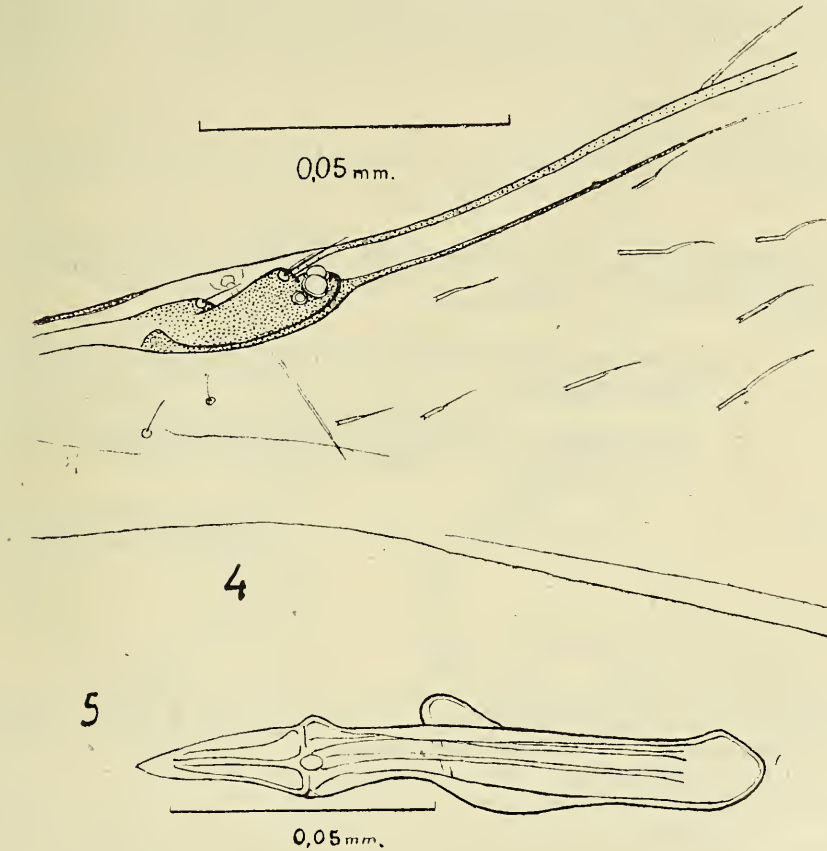


Fig. 4-5. *Cremnomymar fernandezi* A. Ogl.—Fig. 4. Vena marginal y estigmática.
Fig. 5. Genitales.

postmarginal desprovisto de la pilosidad dorsal. La pestaña mayor de la franja marginal 211 micr., un poco más corta que la anchura del ala.

Ala posterior 723 por 45 micr. La vena termina a unos 205 micr. desde la base alar con dos pústulas redondas sobre su ángulo externo, preapical. El disco con dos hileras longitudinales de pelitos cortos, similares a los del ala anterior. Pestaña máxima de la franja marginal 135 micr., cuatro veces tan larga como el ancho mayor del ala.

Pecíolo 97 por 32 micr. ligeramente encorvado ventralmente, con una alta cresta transparente sobre su base dorsal.

Gáster 240 por 154, los tergitos con una franja oscura caudal.

Genitales 97 micr. largos, sus detalles como en fig. 5.

Cremonymmar imperfectus n. sp.

Descrita sobre el único ejemplar defectuoso recogido en la Isla MASA-TIERRA, Cerro Yunque a la altura de 915 m. 10 de Febrero de 1952, conservado en seco sobre un alfilercito, remontado luego en la resina Dammar como preparación microscópica. Los caracteres notables de la estructura torácica y la de las alas de esta nueva especie justifican, en la opinión del autor, su descripción.

Holótipo, macho. Cabeza y antena, con excepción de dos artejos basales, de un color pardo oscuro, las venas de las alas y los últimos tarsitos del mismo color. Tórax de un pardo más claro y rojizo, con meso y

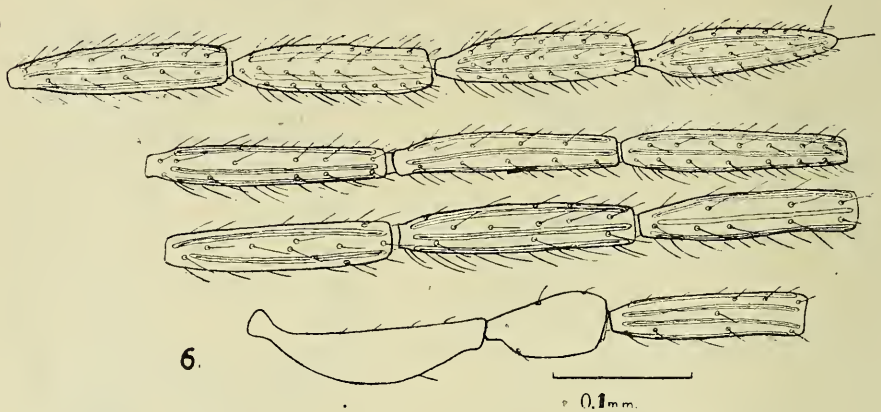


Fig. 6. *Cremonymmar imperfectus* A. Ogl.—Antena del macho.

metapleuras y las suturas de la base alar oscuras. Trabéculas negras; el pigmento de los ojos y ocelos rojo. Escapo y pedicelo de un amarillo claro, igual como en todas las extremidades.

Cabeza distintamente transversa, 208 por 275 micr., con los ojos lampiños, mucho más largos que las postgenas en su aspecto dorsal; (42 : 12). El diámetro mayor del ocelo anterior 19, el del ocelo lateral 16 micr. La línea ocelocular tres veces más corta que la interocelar. Quetotaxia del vértice: 10 y 10 pelitos cortos, además de dos pústulas circuncelares. La superficie del vértice muy finamente celulada. La trabécula látero-frontal y la pared externa de la escroba antenal distintamente elevadas. Frente con un tubérculo mediano y alargado entre las bases de las antenas.

Antena 1.955 micr., más que dos veces más larga que la cabeza y tórax reunidos, (828). Las dimensiones de los artejos 1 — 13 de la antena: 144 (35); 80 (36); 131 (29); 128 (32); 144 (26); 154 (29); 157 (27); 157 (29); 147 (30); 147 (29); 144 (29); 138 (29); 128 (30). Escapo tan largo como los antenitos quinto y onceavo, igual como el pedicelo con pocos pelitos cortos.

Los tres penúltimos artejos con sensorias tricoídeas distales. La pilosidad corta y rala en los artejos basales del funículo se vuelve más larga y más tupida en los distales. Fig. 6.

Tórax 582 por 256 micr. Figs. 7 y 8.

Pronoto 208 por 214 micr. con los espiráculos pósterolaterales, un poco salientes, su peritrema elíptica, 16 por 13 micr. Quetotaxia compuesta de 1 y 1, 3 y 3 y 3 y 3 pelitos cortos, los últimos sobre el margen caudal del pronoto. La parte collar, separada por una carena baja y transversa, con un abanico de 15 líneas elevadas que divergen hacia adelante. La superficie restante del pronoto finamente celulada, los bordes orales de las celdillas levemente imbricados. Prosterno subtriangular, 173 micr. largo.

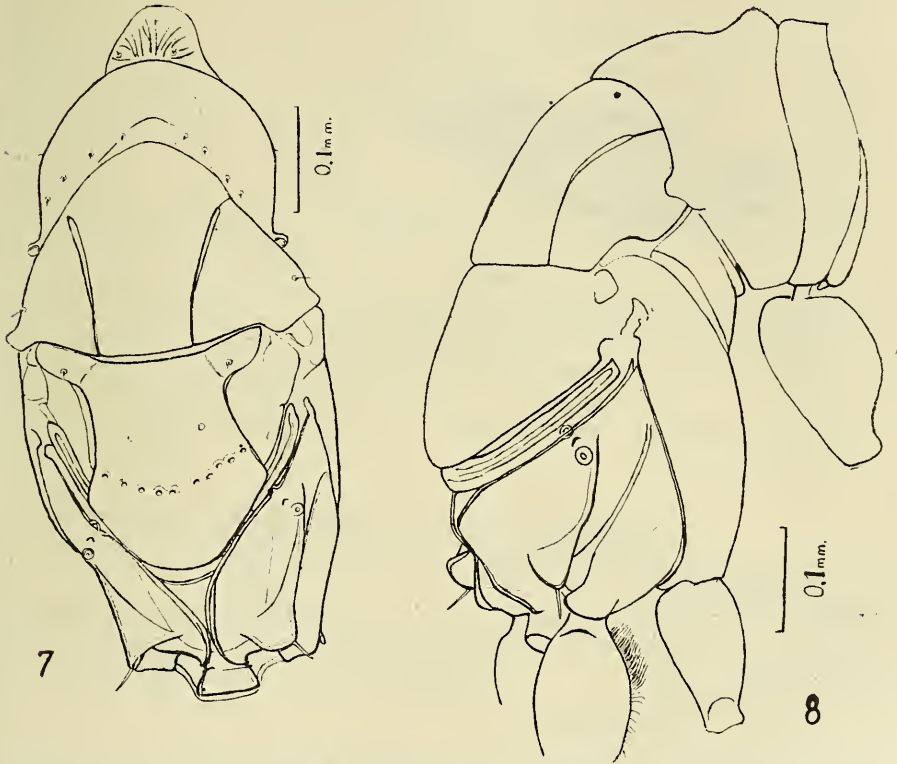


Fig. 7-8. *Crennomymar imperfectus* A. Ogl.—Fig. 7. Tórax en aspecto dorsal. Fig. 8. Tórax en aspecto lateral.

Escudo del mesonoto 211 por 246; notaulices convergen desde 142 hasta 89, cada surco se dilata hasta diez onceavos de su largo, prosiguiendo luego como una línea impresa hasta el borde oral del mesonoto. Las partes laterales con un pelito corto antes del borde externo-caudal liso. La superficie restante con escultura similar a la del pronoto.

Escudete 192 largo, su borde posterior recubre las dos terceras partes del metanoto, una hilera transversa de doce fósulas; las axilas separadas por unas líneas impresas, cada una con una seda de 29 micr. acercada al

margen caudal de la axila. Partes externas de las axilas distintamente celuladas, resto de la superficie del escudete liso.

Metanoto 128 por 192, el largo en el medio 32 micr., la parte mediana con dos diminutos pelitos laterales.

Propódeo 237 por 224, largo en el medio 96 micr., espiráculos redondos unos 13 micr. del diámetro, con la abertura interna circular. Un pequeño tubérculo entre el peritrema y la fósula marginal opuesta. La

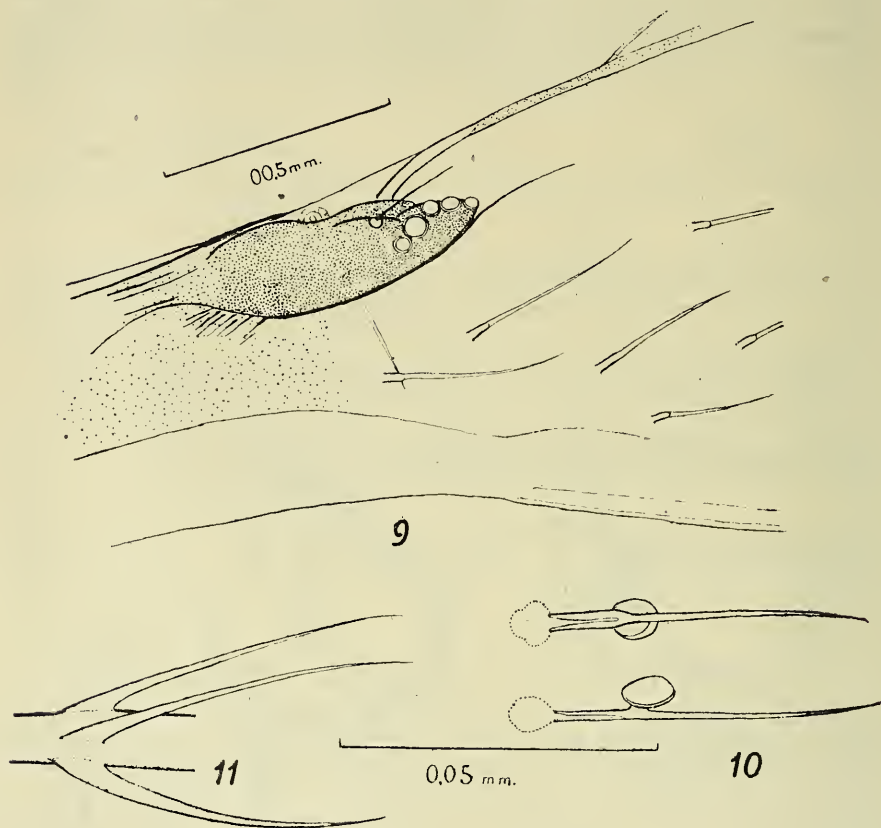


Fig. 9-11. *Cremnomymar imperfectus* A. Ogl. — Fig. 9. Vena marginal y estigmática. Fig. 10. Pelos del disco alar. Fig. 11. Pelos de la vena postmarginal.

carena lateral ancha, empieza por delante del espiráculo, tocando su margen externo, ensanchándose hacia atrás formando un amplio proceso posterior en forma de un diente romo, en su aspecto dorsal, que lleva la seda del propódeo. El borde externo del proceso se dobla en sentido ventral formando un ángulo recto con la parte dorsal. Fig. 8. Las carenas medianas empiezan desde las fósulas sobre el margen oral del propódeo, siguiendo al mismo para dirigirse luego caudalmente hacia el medio delimitando un espacio triangular sobre la parte horizontal del propódeo, recorren paralelas la parte del declive separándose nuevamente en la

proximidad del proceso articular del propódeo, este último con algunas estrías transversales en su base. La superficie del propódeo lisa y brillante sin contar unas líneas elevadas y oblicuas entre las partes caudales de las carenas medianas y los procesos posteriores del propódeo.

Todas las tibias son más cortas que sus correspondientes tarsos. Ala anterior 1.921 por 437 micr. La vena estigmática termina a unos 214 micr. desde la base del ala. La vena marginal más estigmática 54 larga; una línea negra indica la vena radial, distinta hasta 26 micr. La v. postmarginal se prolonga hasta 944 ensanchándose distalmente y lleva unas cuatro hileras de pelos espiniformes, fig. 11 V., estigmática termina con unas cinco pústulas sensoriales dispuestas en arco, la macroqueta distal acercada a las sensorias, la proximal ausente. La hipoqueta aproximadamente dos veces tan larga como el ancho de la vena marginal. Fig. 9. La pilosidad empieza debajo de la vena marginal con pocos pelitos transparentes, un repliegue cóncavo debajo de la v. postmarginal desprovisto de pelos. Pelos del disco hasta 48 micr. largos, unidos con su torma alargada, que se achata proximalmente, terminando en una fina laminilla semitransparente que confluye con la membrana del ala. La parte distal de la torma con un proceso ventral ovalado, cuyos bordes atenuados confluyen también con la membrana alar. Fig. 10. Las pestañas marginales con las bases achatadas, remiformes, la mayor 218 micr., casi la mitad de la anchura máxima del ala.

Ala posterior 1.361 por 48 micr. La vena termina a unos 320 desde la base del ala, recta, con dos sensorias redondas en su tercio distal. El disco con dos hileras ralas de pelitos similares a los del ala anterior. La pestaña más larga de la franja marginal 186 micr. casi cuatro veces superando el ancho del ala.

Los machos de las dos especies se distinguen fácilmente mediante la clave que sigue:

- 1 — 2 Los procesos del propódeo con dientes agudos dirigidos internamente; la pestaña mayor de la franja marginal del ala anterior casi tan larga como la anchura máxima del ala.....
1. *C. fernandesi* A. Ogl.
- 2 — 1 Los procesos del propódeo redondeados, sin dientes internos; la pestaña más larga de la franja marginal del ala anterior casi la mitad de la anchura mayor del ala.....
2. *C. imperfectus* A. Ogl.

Scolosopteron n. gen.

(Del griego: σκόλοψ — puntiagudo y πτερόν — ala).

Antena del macho de 13 artejos, escapo liso sin radícula separada; cabeza de forma cúbica con vértice sin fosas circumocelares; mandíbulas funcionales, tridentadas. Pronoto no dividido, con espiráculos póstero-laterales con peritrema ligeramente saliente. Prosterno oralmente cerrado por los cervicales. Metapleura con largo surco ensanchado caudalmente que atraviesa todo el esclerito desde las caderas posteriores hasta la sutura meso-metapleural. Propódeo alargado con las carenas medianas en forma de X, las carenas laterales terminan en dos procesos caudales

que llevan las dos únicas sedas del propódeo. Alas anteriores largas, pero ineptas para el vuelo, muy angostas, el índice $L : A$ 11. 1, acuminadas apicalmente, con vena marginal corta, la postmarginal y la radial prolongadas; sin frénulo y sin pestañas marginales desarrolladas. Alas posteriores rudimentarias, cortas, con el disco muy corto y sin hámulos. Abdomen con pecíolo largo, ligeramente encorvado y combado ventralmente. Los tarsos tetrámeros.

La especie típica del género: *Scolopsopteron kuscheli* n. sp.

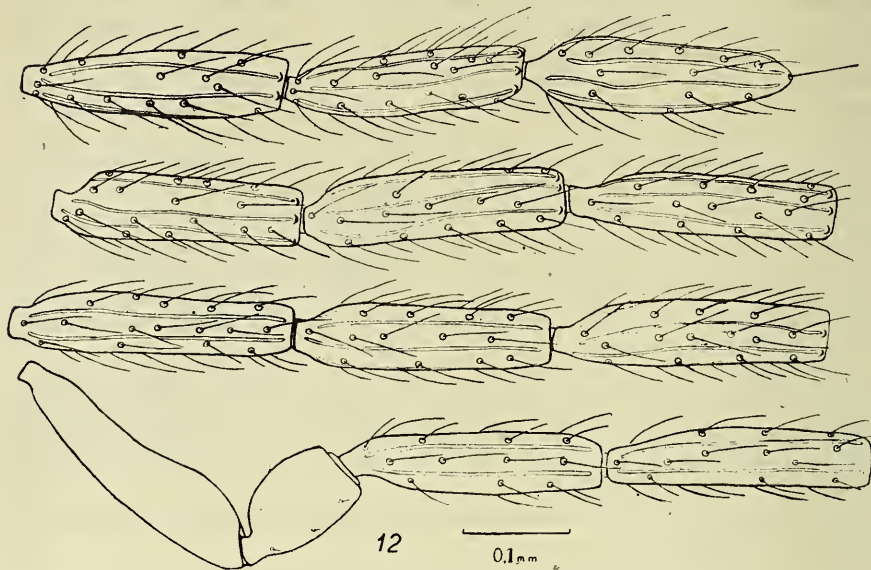


Fig. 12. *Scolopsopteron kuscheli* A. Ogl.—Antena del macho.

Scolopsopteron kuscheli n. sp.

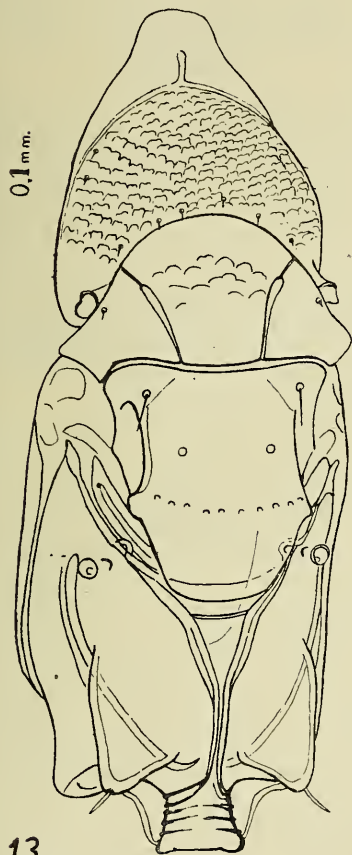
Descrita sobre los dos ejemplares recogidos en MASATIERRA, Alto Inglés a unos 600 m., de altura, sobre *Chusquea fernandesi* el día 6 de Febrero de 1952.

Con placer particular dedico esta notable especie a su descubridor R. P. Guillermo Kuschel.

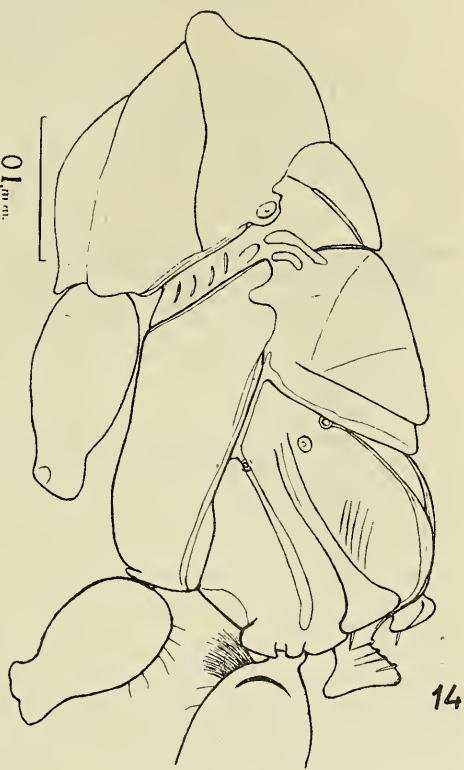
Holótipo. Macho. L. del cuerpo 1.260 a 1.330 micr. La cabeza y el gáster de un pardo oscuro, como también el flagelo de la antena, las venas y los últimos tarsitos. Las trabéculas negras; pigmento ocular y ocelar rojo. Tórax de un amarillo rojizo; los dos primeros artejos de la antena, pecíolo y resto de las extremidades de un amarillo claro.

Cabeza casi cúbica 195 por 227 micr. distintamente ensanchada detrás de los ojos, el borde occipital profundamente escotado, con postgenas casi tan largas como el diámetro mayor de los ojos (28 : 30). Ojos con pilosidad rala, los pelitos son más cortos que el diámetro de los omatidios. El ángulo apical del triángulo ocelar casi 107°. El diámetro del ocelo anterior 10 micr. La línea ocelocular un poco más corta que la cuarta parte de la interocelar (22 : 94). Vértice distintamente ensanchado hacia

atrás, su quetotaxia: 6 y 6 pelitos y dos pústulas circumocelares. Trabéculas interno-orbitales terminan a la altura de los ocelos laterales, partiendo de su extremidad unas arrugas finas acompañadas de unas suturas cortas dirigidas hacia el orificio occipital. Trabéculas látero-frontales distintamente elevadas al lado externo de la escroba antenal. La frente con una saliente mediana y con dos carenas encorvadas que unen las escrobas con los ángulos externos del clipeo. La superficie de la cabeza muy finamente celulada.



13



14

Fig. 13-14. *Scolopsopteron kuscheli* A. Ogl.—Fig. 13. Tórax en aspecto dorsal.
Fig. 14. Tórax lateralmente.

Antena distintamente más larga que el cuerpo, 1,553 micr. Las dimensiones de sus artejos: 125 (25); 63 (28); 126 (28); 129 (28); 133 (28); 126 (28); 133 (28); 126 (28); 123 (28); 123 (28); 123 (28); 123 (28); 116 (36) 116 (29). Escapo dos veces más largo que el pedicelo, subigual al tercer artejo, un poco ensanchado en su tercio distal, liso, con pocos pelitos cortos. Pedicelo distintamente ensanchado ventralmente, con la superficie y pilosidad similares a los del escapo. Los artejos del funículo con finas sen-

sorias placódeas y largos pelos que sobrepasan el ancho de los artejos excepto en los últimos cuya pilosidad es más corta. Fig. 12.

Tórax 479 por 175 micr., distintamente más angosto que la cabeza. Pronoto alargado, 175 por 164 micr. con una carena transversa y arqueada en su tercio oral de la cual sale una corta carena mediana hacia la articulación cefálica. La superficie de la parte posterior del pronoto finamente tuberculada, cada tubérculo de 10 — 14 micr. del diámetro, ligeramente imbricando la base del anterior. Los espiráculos con peritremas elípticas, su mayor diámetro de 13 micr. El borde posterior del pronoto con seis cortos pelitos. Prosterno 154 por 125 micr. con una corta carena basal y mediana lleva 6 y 6 cortos pelitos a lo largo de su margen externo. Figs. 13 y 14.

Mesonoto 196 por 175 micr. Escudo del mesonoto corto, 94 micr. con los notaulices que convergen desde 98 hasta 46 micr. cada surco se dilata a partir de la sutura escutelar hasta las tres cuartas partes de su largo, prolongándose luego como línea impresa hasta el borde oral. La parte del mesonoto entre los surcos con la escultura similar a la del pronoto, pero la superficie restante lisa. Las partes laterales con 1 y 1 pestañas cortas en su margen externo. Escudete 98 micr. largo, las axilas separadas por finas líneas impresas, cada una con una pestaña 22 micr. larga. Una hilera transversa de diez fósulas separa la parte caudal del escudete, la cual recubre la parte mediana y basal del metanoto. Metanoto 87 por 133 micr. con dos diminutos pelitos sobre sus partes laterales y dos pelitos similares debajo de la parte caudal del escudete.

Propódeo 245 por 182 micr. con espiráculos redondos, 10 micr. del diámetro, distantes a unos 146 micr. La carena lateral del propódeo se inicia desde el borde externo del espiráculo, ensanchándose caudalmente y formando un proceso laminar que lleva la seda del propódeo. Un pequeño tubérculo entre espiráculo y el borde oral del propódeo que lleva en este lugar una redonda foseta. Las carenas medianas parten desde el borde anterior engrosado del propódeo y convergen delimitando un área triangular, corren luego en forma paralela para separarse de nuevo en la base del proceso articular con el pecolo. Las carenas medias engrosadas en su mitad oral se vuelven muy finas y bajas sobre el declive del propódeo. Proceso articular del propódeo subcilíndrico, 32 por 45 micr., levemente ensanchado hacia atrás, con varias arrugas transversas. Desde sus ángulos póstero-externos salen dos laminillas transparentes e incurvadas que se unen a los dientes internos de los procesos coxales. La superficie del propódeo lisa y brillante.

Las caderas intermedias ventralmente con algunos pelos erguidos, la base de las caderas posteriores con un fuerte mechón de pelos blancos y tupidos.

Ala anterior 1.080 por 97 micr. con índice $L : A$ igual a 11,1. La vena marginal y estigmática termina a unos 128 micr. desde la base del ala. La v. estigmática confluye con la marginal formando un conjunto. Fig. 15. Dos macroquetas, de las cuales la proximal, a veces, falta, la hipocqueta larga, sobrepasa la anchura del ala en el lugar de su inserción; cinco sensorias circulares, subapicales sobre la parte de la vena estigmática, la vena radial en forma de una línea oscura es distinta hasta unos 64 micr. La pilosidad del ala se compone de finos pelitos blancos hasta 51 micr. largos y solamente sobre la parte apical aguda del ala se ven algunos pelitos más cortos de unos 16 micr. La superficie dorsal del ala es con-

vexa en el sentido transversal del ala y sus bordes cefálico y el caudal doblados hacia abajo. Ala hialina, el espacio entre las venas radial y postmarginal ligeramente oscurecido igual que la parte basal del ala. Figs. 15 y 16. Ala posterior 192 micr. larga con la vena distinta hasta 160 micr. La última es pardo-rojiza en ambas extremidades, pardo-oscura en el medio. Fig. 17. Dos pústulas sensoriales redondas y subapicales y algunos

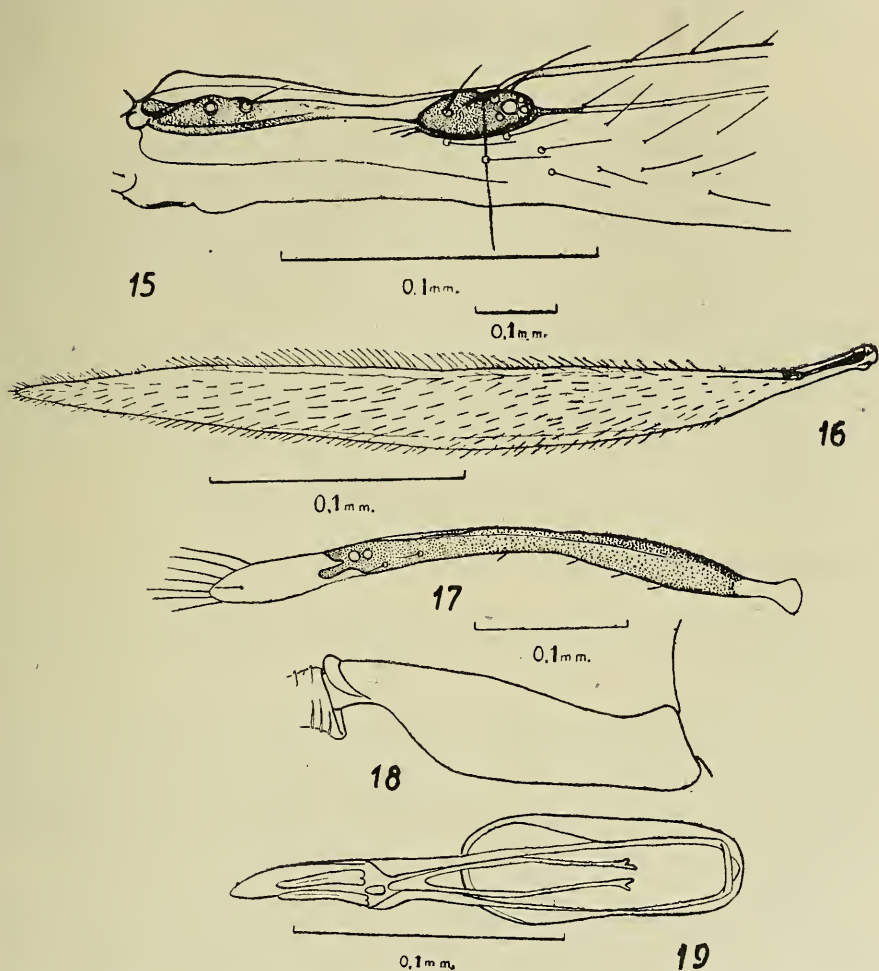


Fig. 15-19. *Scolopsopteron kuscheli* A. Ogl.—Fig. 15. Vena marginal y estigmática. Fig. 16. Ala anterior. Fig. 17. Ala posterior. Fig. 18. Peciolo lateralmente. Fig. 19. Genitales.

pelitos cortos a lo largo de la vena. La membrana rudimentaria, lanceiforme con algunas pestañas apicales. No existen ni rastros de los hámulos.

La desaparición simultánea de las pestañas marginales, del retináculo y de los hámulos y la forma navicular de las alas anteriores constituyen los rasgos únicos en toda la familia de Mymaridae. Los músculos del ala

anterior son reducidos y el mesofragma acortado, pero es probable que la especie pueda mover activamente sus alas anteriores ineptas para el vuelo.

El pecíolo 221 por 58 micr. ligeramente encorvado en el sentido dorso-ventral, ensanchado ventralmente, con una fina laminilla transversa sobre la parte dorsal de su base. Fig. 18.

Gáster 432 por 217 micr. Genitales 173 micr., larga, fig. 19.

Nesopolynema n. gen.

(Del griego: νῆσος — isla y Polynema — nombre del género)

Antena femenina de nueve artejos con masa uniarticulada, escapo liso sin radícula separada. Mandíbulas funcionales, tridentadas. El triángulo ocelar amplio, sin fosas circumocelares. Pronoto dividido a lo largo con espiráculos póstero-laterales; prosterno encerrado oralmente por cervicales; escudete con hilera transversa de fósulas, posteriormente recubre el metanoto. Metapleura con largo surco que atraviesa el esclerito desde las caderas posteriores hasta la sutura meso-metapleural. Caderas posteriores con grandes tubérculos interno-basales. Tarsos tetrámeros. Carenas laterales del propódeo sobresalen hacia atrás formando pequeños procesos. Carenas medianas en forma de Y, confluyendo sobre el declive. Alas normales, la vena marginal alargada, la estigmática con distinta rama radial, los pelos del disco no modificados. Abdomen con largo pecíolo.

La especie típica del género: *Nesopolynema caudatum* n. sp.

Nesopolynema caudatum n. sp.

Descrita sobre el único ejemplar recogido sobre *Chusquea fernandeziana* en la Isla MASATIERRA, Alto Inglés a los 600 m. de altura, el día 6 de Febrero de 1952.

Holótipo. Hembra. L. del cuerpo 1.260 micr. Cuerpo de color pardo oscuro con las trabéculas cefálicas y las suturas del mesonoto y del propódeo negras. Pigmento de los ojos compuestos y de los ocelos rojo. Pedicelo y las patas amarillos, con excepción de las partes siguientes: las tibias intermedias, caderas y fémures posteriores pardos igual que el último artejo de todos los tarsos. Escapo, los artejos tercero y cuarto de la antena de un pardo claro, como también las vainas del oviscapto, siendo el último amarillo.

Cabeza distintamente transversa, 184 por 253 micr. Ojos ántero-laterales, lampiños. El ángulo apical del triángulo ocelar de 112°. Ocelos elípticos, los anteriores 10 por 13 micr. La línea interocelar más de 2,5 veces más larga que la ocelocular. (86 : 32). Quetotaxia del vértice: 2 y 2 pelitos cortos y 1 y 1 pústula circumocelar. La trabécula orbital interna ancha termina hacia adelante del ocelo lateral llevando una fina ramificación detrás del ocelo seguida por una fina sutura. Fig. 21. Las trabéculas látero-frontales se elevan frente a las escrobas antenales. Dos carenas encorvadas unen las bases de las antenas con los ángulos externos del clípeo. La frente ligeramente elevada en el medio. Postgenas distintamente más cortas que los ojos en aspecto dorsal. La superficie de la cabeza muy finamente celulada.

Antena 736 micr. $1\frac{1}{2}$ tan larga como la cabeza y tórax reunidos. Las dimensiones de sus artejos en micr.: 98 (32); 64 (35); 48 (18); 97 (16); 83 (19); 61 (19); 58 (19); 61 (24); 154 (51).

Escapo liso, ligeramente ensanchado en su tercio distal, apenas más largo que el cuarto artejo, más de $1\frac{1}{2}$ tan largo como el pedicelo; el cuarto artejo dos veces más largo que el tercero. El penúltimo artejo distintamente ensanchado, internamente con una sensoria placódea alargada. Masa casi perfectamente simétrica con ocho sensorias placódeas en su mitad oral. La distribución de otras sensorias y la pilosidad como en fig. 20.

Tórax 371 por 224 micr. Pronoto 144 por 205 micr., distintamente transverso, completamente dividido a lo largo. El declive anterior con dos pelitos y fuertes arrugas transversales, las partes laterales del pronoto escamoso-celuladas con celdillas transversas, cada una de las cuales imbrica ligeramente la precedente. El borde posterior con cuatro pelitos cortos, las partes laterales con un pelito cada una. Espiráculos póstero-laterales

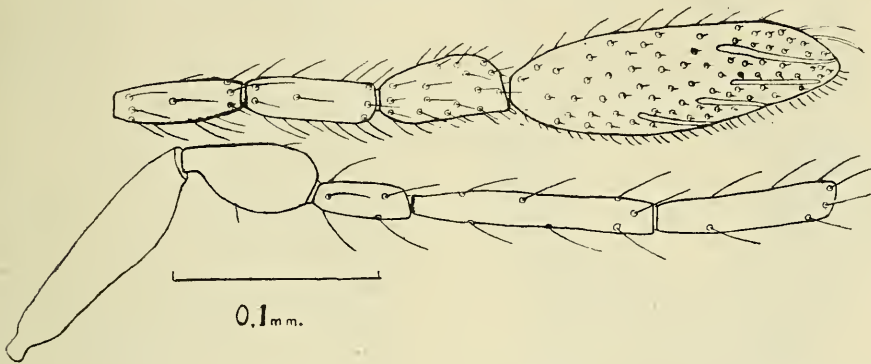


Fig. 20. *Nesopolynema caudatum* A. Ogl.—Antena de la hembra.

con peritrema transparente de unos 10 micr. del diámetro. Prosterno sub-triangular con 5 y 5 pelitos muy cortos, una carena mediana en su cuarta parte caudal.

Escudo del mesonoto 128 por 194 micr. Los notaulices convergen desde 128 hasta 74, acortados en su cuarta parte oral siguiendo luego como finas líneas impresas hasta el borde cefálico del mesonoto. La superficie finamente celulada, con celdillas alargadas en su mitad caudal.

Escudete 128 por 186 micr., tan largo como el escudo. Axila separada por una línea impresa con un pelito corto en su ángulo interno. Una hilera transversa de 16 fósulas separa la parte posterior del escudete.

Metanoto 74 por 186 micr., largo en el medio solamente 16 micr., con la parte mediana recubierta por el escudete.

Propódeo 144 por 205 micr. Los espiráculos dorsales, redondos, peritrema de 32 micr. de diámetro, de bordes elevados y con una saliente angular hacia la fósula sobre el margen oral del propódeo. Carenas laterales del propódeo empiezan sobre el margen externo del peritrema, ensanchándose hacia atrás terminan en un pequeño diente romo que lleva la

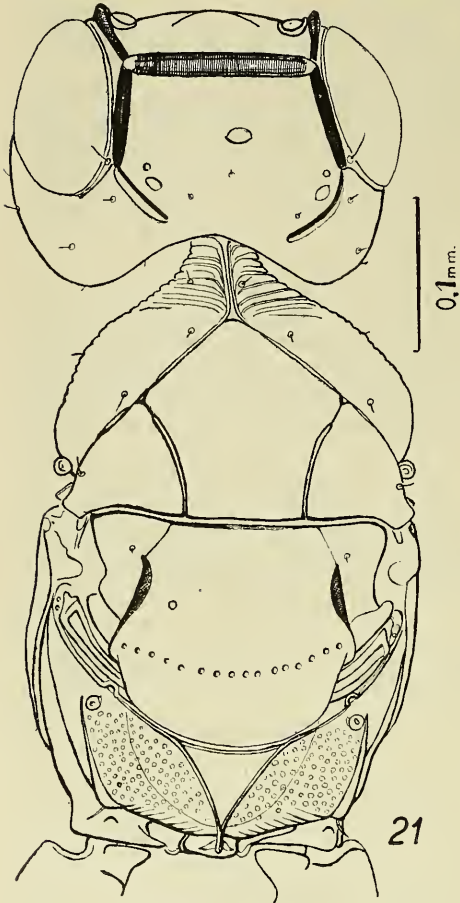


Fig. 21. *Nesopolynema caudatum* A. Ogl.—
Tórax dorsalmente.

seda del propódeo. Las crestas medianas salen convergiendo desde el margen oral del propódeo confluyendo al nivel del declive y formando una Y que delimita un espacio liso y mediano en forma de un triángulo casi equilátero. Resto de la superficie del propódeo mate cubierta por pequeños tubérculos. El declive entre los dientes posteriores y la carena media con finas arrugas oblicuas. El proceso coxal con un pequeño tubérculo dorsal frente al diente posterior y urio interno lateral opuesto al proceso articular del propódeo.

Todos los tarsos distintamente más largos que sus tibias. Cadera posterior con un gran diente romo interno dirigido hacia el proceso articular del propódeo.

Ala anterior 1.216 por 265 micr. el índice $L : A$ 4,1. La vena marginal con estigmática terminan a unos 230 micr. desde la base. La v. marginal con dos macroquetas, de las cuales la distal en la base del proceso estigmático y la proximal distintamente basal de la base de la hipoqueta. Vena estigmática bastante larga, fig. 22, apicalmente con cinco sensorias. La vena radial en forma de una línea oscura distinta hasta 32 micr.

Hipoqueta 62 micr. larga. La pilosidad del disco bastante pareja sobre la superficie dorsal, de unos 19 — 22 micr., empieza debajo de la vena marginal, la de la superficie ventral empieza distalmente de la línea radial y se compone de los pelos más cortos, 10 — 16 micr., volviéndose algo más larga hacia la región distal. La vena postmarginal distinta hasta 464 micr. desde su origen, lleva tres hileras de pestañas. La pestaña más larga de la franja marginal 144 micr. un poco más de la mitad del ancho mayor del ala. Ala hialina, una línea oscura debajo de la v. subcostal se ensancha ocupando todo el ancho del ala a la altura de la v. marginal, esfumándose a la altura del retináculo, el espacio entre la línea negra radial y la v. postmarginal del mismo color.

Ambas alas posteriores faltan en el ejemplar estudiado.

Pecíolo 95 por 56 micr., algo achatado, con una lámina transverso-basal.

Gáster 655 por 195 micr. distintamente comprimido. Ovipositor 943 micr. a unos 402 micr. sobrepasa el ápice del abdomen.

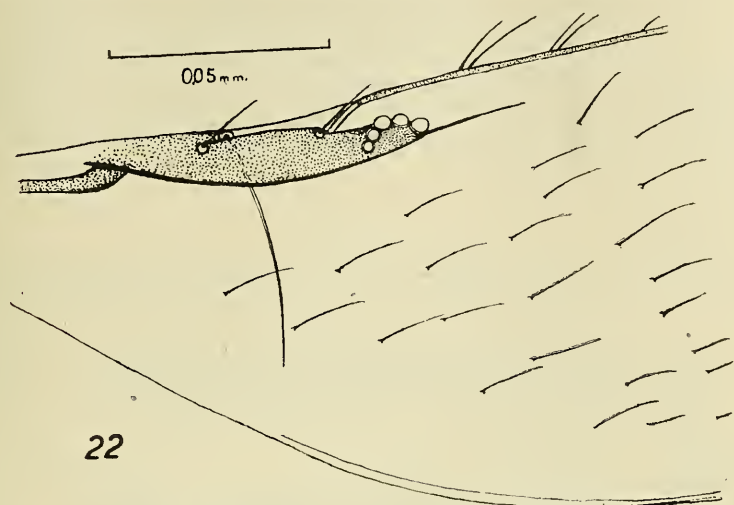


Fig. 22. *Nesopolynema caudatum* A. Ogl.—Vena marginal y estigmática.

Polynema fuscipes Hal.

Unico ejemplar de esta especie europea ha sido encontrado el día 15 de enero de 1952, en la Quebrada de la Calavera, Isla MASAFUERA.

Hembra. L. del cuerpo 1.050 micr. coincide bien con la característica dada por el Dr. Hincke en su reciente revisión de las especies británicas del g. *Polynema*, pero la masa de la antena distintamente más larga que los dos artejos precedentes reunidos y es casi igual a los artejos octavo, séptimo y la mitad del sexto. El pecíolo apenas más largo que las caderas posteriores, 36 : 35. El índice L : A del ala anterior 4,3.

Un macho de *Polynema* encontrado en MASAFUERA, La Correspondencia, a la altura de 1.300 m. el día 20 de Enero 1952, posiblemente pertenece a la misma especie, pero tiene las antenas rotas y su determinación no ofrece seguridad.

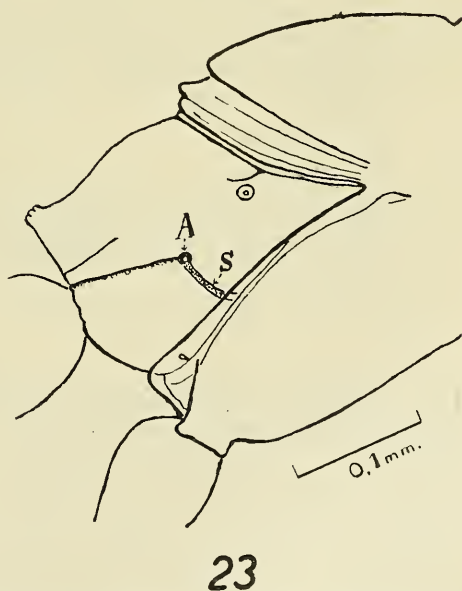


Fig. 23. *Polynema fuscipes* Hal.—Tórax visto lateralmente. A. Base del apodema. S. Surco de la metapleura.

Anagrus incarnatus Hal.

El único ejemplar, macho, ha sido encontrado en la Quebrada de las Casas, Isla MASAFUERA, el día 13 de enero 1952. Sus caracteres coinciden bien con la diagnosis y las ilustraciones dadas por el Dr. H. R. Debauche para *A. incarnatus incarnatus* Hal. en su notable revisión de los Mimáridos y Mimaromátidos de Bélgica. Indudablemente importado con algunas Gramíneas europeas como parásito de alguna especie de los Delphacidae. (Homoptera).

Los géneros nuevos descritos precedentemente pueden ser distinguidos con la clave siguiente:

- 1 — 2. Pronoto dividido a lo largo; carenas medianas del propódeo confluyen hacia atrás formando una Y. Los procesos de las carenas laterales pequeños. La superficie dorsal del propódeo finamente tuberculada, mate. Vena marginal alargada.....
I. *Nesopolynema* A. Ogl.
- 2 — 1. Pronoto sin sutura longitudinal; carenas medianas del propódeo no confluyen; carenas laterales terminan en grandes procesos. Vena marginal corta.
- 3 — 4. Alas anteriores muy angostas, puntiagudas, con los bordes oral y caudal doblados ventralmente; sin retináculo ni pestañas marginales diferenciadas; la pilosidad del disco normal. Ala posterior rudimentaria, sin hámulos, con vestigios de membrana
II. *Scolopsopteron* A. Ogl.
- 4 — 3. Alas normalmente desarrolladas; las bases de las pestañas marginales achatadas y remiformes. Los pelos del disco modificados: con las tormas alargadas, unidas a los pelos y provistas de finas laminillas en ambos extremos que confluyen con la membrana alar.....
III. *Cremnomymar* A. Ogl.

Los diferentes caracteres, comunes para estos tres géneros, posiblemente, indican su origen común, separándolos al mismo tiempo de los demás géneros agrupados alrededor de *Polynema* Hal. que poseen la antena femenina de nueve artejos y trece en la masculina, teniendo además un largo pecíolo abdominal y los tarsos tetrámeros. Para facilitar la tarea de separar dichos géneros parece oportuno proponer una nueva agrupación distribuyéndolos en diferentes tribus.

Tal reagrupación obligaría a asignar una categoría sistemática mayor a las tribus actualmente reconocidas por la mayoría de los autores, las que, por cierto, reúnen los elementos más heterogéneos alrededor del único carácter merístico; los tarsos tetra- o pentámeros, sin tomar en cuenta su parentesco u ordenación natural.

En el presente artículo nos limitamos a proponer las tribus mencionadas, dejando la reorganización de la familia para otra oportunidad.

La clave que sigue, lejos de ser completa, separa las cuatro tribus:

- 1 (2) Escapo muy alargado, distintamente estrangulado en el medio. Alas anteriores largamente pedunculadas con larga vena marginal. Alas posteriores rudimentarias, con hámulos: Propódeo sin carenas medianas, con dos sedas.....
I. Mymarini con g. *Mymar* Curt.
- 2 (1) Escapo más corto, sin estrangulación mediana.
- 3* (4) Propódeo con cuatro sedas.....
II. Bruchomymarini n. trib. con
Bruchomymar, *Chaetomymar*, *Tetrapolynema*, etc.
- 4 (3) Propódeo con dos sedas.
- 5 (6) Vena estigmática prolongada en una línea gruesa en dirección Rs. Carenas medianas del propódeo convergen sobre el declive, carenas laterales terminan atrás en dos procesos. Surco de la metapleura largo, ensanchado hacia atrás y atraviesa casi todo el esclerito hasta las caderas posteriores. Figs. 3, 8 y 14.....
III. Crennomymarini n. tribu, con
Crennomymar, *Nesopolynema* y *Scolopsopteron*
- 6 (5) Vena estigmática sin prolongación en dirección Rs. Carenas laterales no forman procesos caudales. Surco de la metapleura abreviado o doblado desde la base del apodema en dirección perpendicular hacia meta-mesopleural. Fig. 23.....
IV. Polynematini n. tribu, con *Polynema*,
Stephanodes, *Barypolynema*, *Acropolynema*, etc.

BIBLIOGRAFIA

- BAKKENDORF, O., *Recherches sur la biologie de l'Anagrus incarnatus* Hal. Ann. Biolog. Lacustr. 1926. 14: 249-270.
- *Investigations on some Danish Hymenoptera*. The Egg-parasites, etc. 1933. Ent. Medd. XIX (1): 1-135.
- DEBAUCHE, H. R., *Etude sur les Mymaromidae et les Mymaridae de la Belgique*. Mém. de Musée Royal d'Histoire Naturelle de Belgique. 1948. Mém. n. 108. Bruxelles.
- *Mymaridae*. Exploration du Parc National Albert. Mission G. F. de Witte (1933-1935) F. 39. 1949. pp. 1-105. 13 Pls. Bruxelles.
- ENOCK, F., *New Genera of British Mymaridae*. Trans. Ent. Soc. London. 1909: 449-459. pl. XII — XV.
- FÖRSTER, A., *Über die Familie der Mymariden*. Linn. Ent. 1847. 2: 195-233.
- *Hymenopterologische Studien*. Hefte 2. 1856. Aachen. pp. 1-152.
- GAHAN, A. B., *The status of the genus Mymar Curtis*. 1949. Journ. Wash. Acad. of Science. 39 (6): 204-205.
- GIRAULT, A. A., *North American Hymenoptera. Mymaridae*. 1929. pp. 1-29. Brisbane. Authors publication.
- GHESQUIÈRE, J., *Remarques sur la famille des Mymarides et descriptions d'espèces nouvelles*. Rev. Zool. Bot. Afr. 1949. XXXIV (3): 317-328.

- GOETSCH, WILHELM. *Die Robinson-Inseln Juan Fernández und ihre biogeographischen Probleme*. 1933. Phoenix 19: 26-43. (Citado por la obra de Murphy).
- HALIDAY, A. H., *Essay on the classification of Parasitic Hymenoptera*. 1833. Ent. Mag. 1: 341-350.
- HINCKS, W. D., *On the genus Mymar*. Proc. Roy. Ent. Soc. London. 1944; 13: 38.
- *Notes on some British Mymaridae*. Trans. of the soc. for Brit. Entom. 10 (4): 167-207.
- KRYGER, J. P., *Synonymic remarks on some generic names of Mymaridae*. 1934. Ent. Medd. XVIII (5): 503-508.
- *The European Mymaridae comprising the genera known up to 1930*. 1950. Ent. Medd. XXVI: 1-97.
- OGLOBLIN, A. A. *Un género nuevo de la fam. Mymaridae*. 1939. Physis. 18: 217-225.
- *Descriptions of new genera and species of Mymaridae*. 1946. Iowa State Coll. Journ. of Science. 20 (3): 277-295.
- MURPHY, R. C., *Oceanic birds of South America*. 1936. vol. 1: 254-258. The Mackmillan Co. N. York.
- SKOTTSBERG, C., *The natural history of Juan Fernández, and Easter Island*. 1928. II. Botany. pt. 4. Uppsala. pp. 499-537.
- SOYKA, W., *Revision einiger Mymaridengattungen*. Zbl. Ges. Geb. Ent. 1946. Lienz. 1: 33-44.
- WALKER, F., *Descriptions of Mymaridae*. 1846. Ann. Mag. Nat. Hist. 18: 49 — 54.
- WESTWOOD, O., Trans. Linn. Soc. London. Zool. 1879. (2) 1: 584.